

## РАСПРЕДЕЛЕНИЕ АТОМОВ КРЕМНИЯ ПО ПОРОГОВОЙ ЭНЕРГИИ СМЕЩЕНИЯ И ЕГО ЗАВИСИМОСТЬ ОТ ТЕМПЕРАТУРЫ

Берман Л. С., Витовский Н. А., Ломасов В. Н., Ткаченко В. Н.

Методом двойной изотермической релаксации емкости измерены энергетические зависимости скоростей введения А-центров и комплексов  $C_i-C_s$  (межузельный—узельный углерод) в кремнии при облучении электронами. Экспериментально определена зависимость вероятности смещения регулярного атома от мгновенно полученной им энергии при  $T=300$  и  $500$  К. Установлено, что регулярные атомы характеризуются эффективной пороговой энергией смещения  $E_d^{\text{эф}}=38-40$  эВ. Показано, что вероятность смещения регулярного атома из узла при получении им энергии  $E \leq 30$  эВ не превышает  $2\%$ .

*Основные обозначения.*  $E$  — энергия, переданная атому кристалла при упругом столкновении бомбардирующей частицей,  $E_m$  — максимальная энергия, которая может быть передана атому бомбардирующей частицей с энергией  $\epsilon$ ,  $E_d$  — пороговая энергия смещения атома из узла кристаллической решетки,  $E_d^z$ ,  $E_d^y$  — пороговая энергия смещения, определяемая экспериментально при облучении соответственно электронами или  $\gamma$ -квантами,  $\sigma_{\text{ПФ}}$ ,  $\nu_{\text{ПФ}}$ ,  $W_{\text{ПФ}}$  — сечение, скорость и вероятность образования пары Френкеля,  $\sigma_{\text{РД}}$ ,  $\nu_{\text{РД}}$  — сечение и скорость образования вторичных радиационных дефектов (РД),  $\gamma(\epsilon, E)$  — вероятность передачи заданной энергии  $E$  атому бомбардирующей частицей с энергией  $\epsilon$ ,  $x(E)$  — вероятность того, что регулярный атом, получивший энергию  $E$ , сместится из узла кристаллической решетки.

*Введение.* При расчетах сечения образования пар Френкеля  $\sigma_{\text{ПФ}}$  в кристаллах обычно предполагается, что вероятность смещения атома из узла кристаллической решетки при мгновенном получении им кинетической энергии  $E$  извне (например, при рассеянии на этом атоме бомбардирующей частицы) имеет вид ступенчатой функции  $W_{\text{ПФ}}=0$ , если  $E < E_d$ , и  $W_{\text{ПФ}}=1$ , если  $E \geq E_d$ ; характерная энергия  $E_d$  называется пороговой энергией смещения. В основе этого предположения лежит экспериментальный факт быстрого, носящего «пороговый» характер нарастания величины  $\nu_{\text{РД}}$  от приборного нуля при увеличении энергии  $\epsilon$  бомбардирующей частицы (чаще всего используются электроны), как только  $\epsilon$  превысит некоторое значение  $\epsilon_d$ . Энергия  $E_m$  при  $\epsilon=\epsilon_d$  полагается равной  $E_d$ . По зависимости  $\nu_{\text{РД}}(\epsilon)$  при облучении электронами еще в 50—60-х годах были экспериментально определены пороговые энергии смещения  $E_d^z$  для наиболее важных полупроводников. Величина  $E_d$  входит в известные формулы для расчета зависимости  $\sigma_{\text{ПФ}}(\epsilon)$  при любых энергиях бомбардирующих частиц и является единственным параметром, характеризующим кристаллическую решетку облучаемого материала (масса  $M$  и атомный номер  $Z$  характеризуют отдельные атомы материала, они известны). Вскоре, однако, были установлены два важных факта, долгое время не находивших объяснения.

1. Сравнение экспериментальных  $\sigma_{\text{РД}}(\epsilon)$  (при облучении электронами) и расчетных зависимостей  $\sigma_{\text{ПФ}}(\epsilon)$ , вычисленных с использованием величины  $E_d^z$ , показало значительное расхождение расчета и эксперимента, причем вблизи порога дефектообразования (ПД) всегда существует область энергий  $\epsilon$ , в которой  $\sigma_{\text{РД}}$  на много порядков величины меньше  $\sigma_{\text{ПФ}}$ . При  $E \gg E_d$  различия между

$\sigma_{\text{рД}}$  и  $\sigma_{\text{ПФ}}$  оказываются не столь большими [1, с. 134] (см. также рис. 1 настоящей работы). Эти различия не могут быть устранены подбором значения  $E_d^2$ .

2. Экспериментальные значения  $\sigma_{\text{рД}}$  при  $\gamma$ -облучении в интервале энергий от 0.7 до 2.8 МэВ (когда пары Френкеля создаются в объеме однородно) в десятки и сотни раз меньше расчетных значений  $\sigma_{\text{ПФ}}$ , вычисленных с использованием величины  $E_d^2$ , причем расхождение тем больше, чем меньше энергия  $\gamma$ -фотонов  $h\nu$  [2].

Анализ экспериментальных зависимостей  $\nu_{\text{рД}}(\varepsilon)$  в «припороговой» области энергий электронов, проведенный в [3], показал, что оба указанных факта могут быть объяснены, если предположить, что основная масса атомов облучаемого кристалла характеризуется пороговой энергией смещения  $E_d^{\text{н}}$  (соответствующей «идеальному» кристаллу), существенно большей  $E_d^2$ , и лишь небольшая часть «слабо связанных» атомов характеризуется меньшими энергиями смещения, находящимися в интервале  $E_d^2 < E_i < E_d^{\text{н}}$ . При этом высокая чувствительность используемых экспериментальных методов позволяет зарегистрировать очень небольшую долю ( $10^{-3}$ — $10^{-4}$ ) атомов, в результате чего расхождение между  $E_d^2$  и  $E_d^{\text{н}}$  может достигать нескольких раз. Поскольку при уменьшении энергии электронов (ее приближении к  $\varepsilon_d$ ) толщина слоя  $d$ , в котором создаются пары Френкеля (ПФ), уменьшается и при  $\varepsilon = \varepsilon_d$  обращается в нуль, предполагалось, что слабо связанными следует считать атомы, находящиеся в тонких приповерхностных, всегда сильно дефектных слоях. Данные работ [1, 4—6] дают значения  $E_d^2$ , сильно отличающиеся друг от друга, что вполне можно объяснить различным состоянием поверхностей исследуемых образцов. Следовательно, правильно и с большой точностью экспериментально определенная величина  $E_d^2$  не характеризует регулярных атомов кристалла и не должна использоваться в расчетах сечения образования дефектов.

В [3, 7] было предложено определять пороговую энергию смещения  $E_d^{\text{н}}$ , характеризующую регулярные атомы, по данным измерений  $\sigma_{\text{рД}}$ . Анализ данных [2], проведенный в [3, 7], показал, что сечения  $\sigma_{\text{рД}}$ , измеренные при облучении  $\gamma$ -фотонами с различными энергиями, дают для указанного материала близкие величины энергии смещения  $E_d^{\text{н}}$ , которые значительно превышают  $E_d^2$  (например, для кремния  $E_d^{\text{н}} = 40$ — $60$  эВ [7], а  $E_d^2 = 13$ — $45$  эВ [1, 4—6]). Энергии  $E_d^{\text{н}}$  можно полагать близкими к  $E_d^{\text{н}}$  и использовать в расчетах  $\sigma_{\text{ПФ}}$  для любых видов радиации, несмотря на то что точность определения  $E_d^{\text{н}}$  ниже, чем  $E_d^2$ .

Предложенное в [3, 7] объяснение различия величин  $E_d^2$  и  $E_d^{\text{н}}$  — не единственное. В [8] было показано, что отказ от ступенчатого приближения функции  $W(E)$ , т. е. введение представления о непрерывности функции  $\kappa(E)$  в выражение  $W(\varepsilon, E) = \eta(\varepsilon, E) \kappa(E)$ , приводит к тому, что и для идеального кристалла эффективная энергия смещения  $E_d^{\text{эф}}$ , которая должна использоваться в расчетах сечения  $\sigma_{\text{ПФ}}$ , оказывается значительно (в 2—3 раза) большей, чем  $E_d^2$ . Для расчетов зависимости  $\kappa(E)$  в [8] вводятся три свободных параметра, что позволяет широко варьировать вид функции  $\kappa(E)$  и затрудняет практическое использование результатов.

Таким образом, учет обоих факторов — идеальности реального кристалла и плавного вида функции  $W(E)$  — приводит к одному и тому же качественному выводу:  $E_d^{\text{н}}$  (или  $E_d^{\text{эф}}$ )  $\neq E_d^2$ .

Цель настоящей работы — определение соотношения параметров  $E_d^2$ ,  $E_d^{\text{н}}$  и нахождение энергетической зависимости вероятности смещения регулярного атома в кремнии  $\kappa(E)$  из экспериментальных зависимостей  $\nu_{\text{рД}}(\varepsilon)$  в условиях, когда роль поверхности сведена к минимуму. Кроме того, нами исследовано влияние температуры облучения на  $E_d^2$ ,  $E_d^{\text{н}}$  и  $\kappa(E)$ .

## 1. Эксперимент

Исследовались энергетические зависимости скоростей введения А-центров (комплекс вакансии—кислород) и комплексов  $C_i$ — $C_s$  (межузельный—узельный углерод). Для уменьшения влияния поверхности зависимости  $\nu_A(\varepsilon)$  и  $\nu_{C_i-C_s}(\varepsilon)$  определялись по концентрации этих РД в базе  $p^+$ — $n$ -диодов.

Группа 1. Исходный кремний: БЗП, бездислокационный,  $\rho=500$  Ом·см. Область  $p^+$  создавалась диффузией бора в инертной среде. Глубина залегания  $p^+$ - $n$ -перехода  $x_j=1$  мкм. Концентрация остаточных глубоких центров (ГЦ) нерadiационного происхождения  $N_T < 5 \cdot 10^9$  см $^{-3}$ .

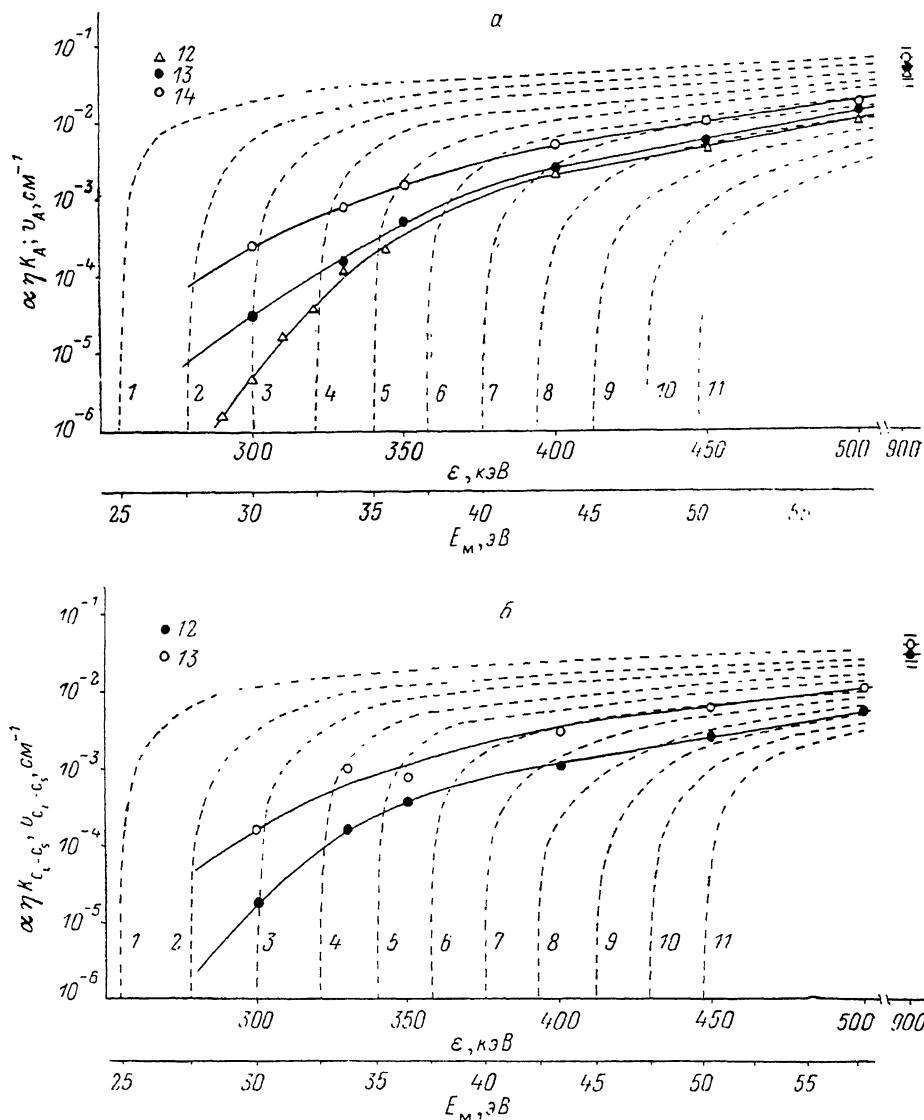


Рис. 1. Энергетическая зависимость расчетной скорости введения пар Френкеля в кремний для ступенчатой функции  $v_{\text{впф}}(\epsilon) = \alpha \eta$ , умноженной на коэффициент  $K$ , и экспериментальной скорости введения А-центров (а) (12–14) и центров  $C_i-C_s$  (б) (12, 13).

$E_d, \text{эВ}$ : 1 — 25, 2 — 27.5, 3 — 30, 4 — 32.5, 5 — 35, 6 — 37.5, 7 — 40, 8 — 42.5, 9 — 45, 10 — 47.5, 11 — 50.  $K_A=0.07$  (а),  $K_{C_i-C_s}=0.05$  (б). Эксперимент: а) 12 — группа 2; 13, 14 — группа 1; Т, К: 12, 13 — 300; 14 — 500. б) группа 1; Т, К: 12 — 300; 13 — 500.

Группа 2. Исходный кремний: БЗП, бездислокационный,  $\rho=700$  Ом·см. Область  $p^+$  создавалась диффузией бора в воздухе,  $x_j=10$  мкм. Энергетическая зависимость скорости введения А-центров  $v_A(\epsilon)$  для образцов группы 2 была исследована нами в работе [6] и использована для расчетов в настоящей работе.

Далее приведены результаты эксперимента для образцов группы 1. Образцы облучались электронами со стороны области  $p^+$  на импульсном ускорителе при  $T=300$  и  $500$  К. Частота следования импульсов  $f_n=500$  Гц, длительность импульсов  $\Delta t=330$  мкс, плотность потока электронов в импульсе  $J=1 \times$

$\times 10^{14} \text{ см}^{-2} \cdot \text{с}^{-1}$  поддерживалась постоянной в условиях эксперимента. Точность установки энергии  $\Delta \varepsilon = \pm 5 \text{ кэВ}$ . Концентрация РД измерялась в слое на расстоянии  $17-26 \text{ мкм}$  от поверхности методом двойной изотермической релаксации емкости [9], использовалась автоматизированная установка [10]. При каждой энергии облучались два образца, расположенные на одной пластине; для них разница в концентрации РД не превышала 5%. Уменьшение энергии электронов в никелевом контакте к области  $p^+$  и на расстоянии от области  $p^+$  до исследуемого слоя  $\Delta x \approx 20 \text{ мкм}$  учитывалось с помощью известных методов [11, 12]. В кремнии, облученном электронами, образуются А-центры и междузельный углерод  $C_i$ ; последний не стабилен: в БЗП кремнии он при комнатной температуре за несколько суток переходит в комплекс междузельный—узельный углерод  $C_i-C_s$  [13], который полностью отжигается при  $280^\circ \text{C}$  за 5 ч [14]. Для акцепторного уровня  $C_i-C_s$  и для А-центра температурные зависимости времени термоионизации  $\tau(T)$  близки [14], поэтому емкостные измерения дают суммарную концентрацию этих РД  $N_A + N_{C_i-C_s}$ . Для определения  $N_A$  и  $N_{C_i-C_s}$  каждый образец измерялся трижды:  $a$  — сразу после облучения (определялась концентрация  $N_A$ ),  $b$  — после отжига  $75^\circ \text{C}$ , 5 ч (определялась суммарная концентрация  $N_A + N_{C_i-C_s}$ ),  $v$  — после отжига  $280^\circ \text{C}$ , 5 ч (повторно определялась концентрация  $N_A$ , причем были получены те же значения  $N_A$ , что и сразу после облучения (А-центры устойчивы до  $T < 350^\circ \text{C}$  [15])). На рис. 1,  $a, b$  приведены зависимости скоростей введения А-центров и  $C_i-C_s$  от энергии  $v_A(\varepsilon)$  и  $v_{C_i-C_s}(\varepsilon)$  при  $T=300$  и  $500 \text{ К}$ . При  $\varepsilon=300 \text{ кэВ}$  повышение температуры облучения от 300 до 500 К приводит к значительному увеличению  $v_A$  и  $v_{C_i-C_s}$ , однако по мере увеличения энергии электронов влияние нагрева уменьшается. (Заметим для сравнения, что при  $\varepsilon=3.5 \text{ МэВ}$  в интервале температур облучения  $300-500 \text{ К}$  имеет место слабая и немонотонная зависимость  $v_A$  от температуры облучения [16]). Во всем интервале энергий от 300 до 900 кэВ при обеих температурах выполняется соотношение  $v_A/v_{C_i-C_s} = (1.5 \pm 0.1) = \text{const}$ , т. е. нагрев до 500 К не приводит к уменьшению  $v_{C_i-C_s}$ . Энергетические зависимости  $v_A$  и  $v_{C_i-C_s}$  в данных образцах при каждой из температур облучения одинаковы. При  $\varepsilon < 400 \text{ кэВ}$  скорость введения А-центров в образцах группы 1 ( $x_j=1 \text{ мкм}$ ) больше, чем в образцах группы 2 ( $x_j=10 \text{ мкм}$ ), хотя концентрация кислорода в образцах группы 1 меньше, чем в образцах группы 2. Это можно объяснить более сильным влиянием поверхности на величину  $E_d^2$  в образцах группы 1, у которых  $x_j$  меньше.

## 2. Обсуждение результатов

Основная трудность, возникающая при анализе скоростей введения вторичных РД, связана с тем, что в регистрируемом процессе могут участвовать не все создаваемые при облучении междузельные атомы  $I$  и вакансии  $V$ . Если образование регистрируемых вторичных РД не является главным из процессов, в которых участвуют  $I$  и  $V$ , то энергетические зависимости  $v_A(\varepsilon)$  и  $v_{C_i-C_s}(\varepsilon)$  могут отличаться от зависимости  $v_{\text{ИФ}}(\varepsilon)$ . Поскольку пары Френкеля разделяются уже при низких температурах [17] и вакансии активно взаимодействуют с примесями, непосредственно скорость  $v_{\text{ИФ}}$  измерена быть не может. Тем не менее на основании данных [18] можно считать, что при  $\varepsilon=1 \text{ МэВ}$   $v_{\text{ИФ}} \sim 0.5 \div 1 \text{ см}^{-1}$ . В дальнейших расчетах примем  $v_{\text{ИФ}}(1 \text{ МэВ}) = (0.7 \pm 0.2) \text{ см}^{-1}$ , что в модели ступенчатой функции  $\kappa(E)$  соответствует величине  $E_d^2 = (40 \pm 6) \text{ эВ}$ .

Для образцов группы 1  $v_A$  и  $v_{C_i-C_s}$  одного порядка, но много меньше  $v_{\text{ИФ}}$ ; так, при  $\varepsilon=900 \text{ кэВ}$  имеем  $v_A=0.05$  и  $v_{C_i-C_s}=0.03 \text{ см}^{-1}$ . В образцах группы 2 междузельный углерод образует главным образом К-центр (кислородно-углеродный комплекс), причем  $v_A$  и  $v_K$  одного порядка, но много меньше  $v_{\text{ИФ}}$ . Такое соотношение между скоростями введения вторичных РД и пар Френкеля дает основания полагать, что доминирующим процессом является рекомбинация не связанных генетически  $I$  и  $V$ , а вторым по интенсивности — взаимодействие не прорекомбинировавших  $I$  и  $V$  с атомами примесей. Это позволяет использовать теорию квазистационарных реакций между точечными дефектами в кристаллах [19]. В соответствии с [17] можно считать, что в кремнии между  $I$  и  $V$  действуют короткодействующие силы, все генетически связанные пары Френкеля

разделяются, реакции контролируются аннигиляцией генетически не связанных  $I$  и  $V$ ; такие условия соответствуют реакциям  $E-H$  [19]. Для любой из этих четырех реакций выполняется соотношение

$$\frac{v_A}{v_{\text{ПФ}}} = \left[ \frac{\tau_I^p \tau_V^p}{(\tau_I^p + \tau_I^*) (\tau_V^p + \tau_V^*)} \right]^{1/2} \approx \left( \frac{\tau_I^p \tau_V^p}{\tau_I^* \tau_V^*} \right)^{1/2} \equiv K, \quad (1)$$

где  $\tau_I^p$ ,  $\tau_V^p$  — времена жизни  $I$  и  $V$  по отношению к процессу рекомбинации,  $\tau_I^*$ ,  $\tau_V^*$  — времена жизни  $I$  и  $V$  по отношению к реакциям  $V$  с кислородом и  $I$  с углеродом соответственно. Аналогичная зависимость справедлива и для отношения  $v_{C_i-C_s}/v_{\text{ПФ}}$ .

Введенный таким образом коэффициент  $K$  является индивидуальной характеристикой данного РД в данном образце и зависит от совершенства кристалла и содержания в нем примесей. Кроме того,  $K$  зависит от интенсивности облучения  $J$  через  $\tau_{I,V}^p$  и  $\tau_{I,V}^*$ . Однако, несмотря на то что абсолютная величина коэффициента  $K$  может сильно варьировать в разных образцах и в разных условиях эксперимента, в каждом конкретном опыте, проводимом на одном образце и в условиях постоянной интенсивности облучения, коэффициент  $K$  практически не должен зависеть от энергии  $\epsilon$ . Действительно, зависимость  $K(\epsilon)$  может появиться, например, через зависимости  $\tau_{I,V}^p$  и  $\tau_{I,V}^*$  от концентрации неравновесных носителей заряда  $n$ , но сама зависимость  $n(\epsilon)$  при  $J = \text{const}$  в рассматриваемом диапазоне энергий весьма слабая и не может вызвать достаточно сильной зависимости  $K(\epsilon)$ , которая могла бы быть заметна на фоне очень сильной зависимости  $\eta(\epsilon)$  в припороговой области энергий. Таким образом, поскольку было выполнено условие  $J = \text{const}$ , можно полагать, что во всем диапазоне энергий в условиях наших экспериментов  $K = \text{const}$ . С другой стороны, для идеального кристалла  $v_{\text{ПФ}}$  не зависит от интенсивности излучения; при заданной температуре для заданных вида и энергии излучения она является параметром полупроводника. Экспериментально обнаруженный факт постоянства отношения  $v_A(\epsilon)/v_{C_i-C_s}(\epsilon) = 1.5$  (см. раздел 1) является важным свидетельством в пользу предположения о независимости  $K$  от  $\epsilon$ . Это допущение позволяет использовать результаты нашего эксперимента для вычисления зависимости  $\kappa(E)$ . Согласно модели работы [8], при заданной энергии  $\epsilon$  с учетом зависимости  $\kappa(E)$  справедливо соотношение

$$v_A = \alpha K_A \int_0^{E_m} \eta(\epsilon, E) \kappa(E) dE, \quad (2)$$

где  $\alpha$  — известный размерный коэффициент, связывающий вероятность образования  $W$  и скорость введения  $v$  вторичного РД,  $\eta$  — функция  $\epsilon$  и  $E$  [20]. Аналогичное соотношение справедливо и для  $v_{C_i-C_s}$ . Верхний предел интегрирования  $E_m$  зависит от  $\epsilon$ . Дифференцирование (2) по  $E_m$  и  $\epsilon$  дает

$$\kappa(E) = \frac{\frac{\partial^2 v_A}{\partial \epsilon^2} \frac{d\epsilon}{dE_m}}{\alpha K_A \left. \frac{\partial \eta}{\partial \epsilon} \right|_{E_m}}. \quad (3)$$

Таким же образом функция  $\kappa(E)$  может быть определена по экспериментальной зависимости  $v_{C_i-C_s}$ . Зависимости величин  $\alpha K_A \eta$  и  $\alpha K_{C_i-C_s} \eta$  от  $\epsilon$  для различных значений параметра  $E_m$  представлены на рис. 1, а и б соответственно штриховыми кривыми. Результаты определения описанным способом зависимости  $\kappa$  от  $E$  по данным рис. 1 представлены на рис. 2 (кривые 1—5).

Прежде чем перейти к рассмотрению этого результата, необходимо сделать следующее важное замечание. Поскольку коэффициент  $K$  не зависит от энергии, он определяет величины  $v_{\text{РД}}$ , но не их энергетические зависимости. Следовательно, определенная нами зависимость  $\kappa(E)$  характеризует зависимость вероятности смещения собственных атомов кристалла от получаемой ими энергии  $E$ . Вид функции  $\kappa(E)$  не должен зависеть от примесного состава образца

(естественно, при условии, что концентрация атомов примеси много меньше концентрации собственных атомов) и для идеального кристалла является характеристикой полупроводника. Зависимость  $\kappa(E)$  для идеального кристалла назовем функцией В. Л. Винецкого. В реальном кристалле  $\kappa(E)$  отличается от функции Винецкого наличием слабо связанных атомов. Так, зависимости  $\kappa(E)$  для образцов групп 1 и 2 несколько различны, что объясняется различной дефектностью этих групп образцов.

Рассмотрев рис. 2, мы пришли к следующему заключению.

1. Как и следовало ожидать, функция  $\kappa(E)$  не зависит от того, по скорости введения каких РД она определяется.

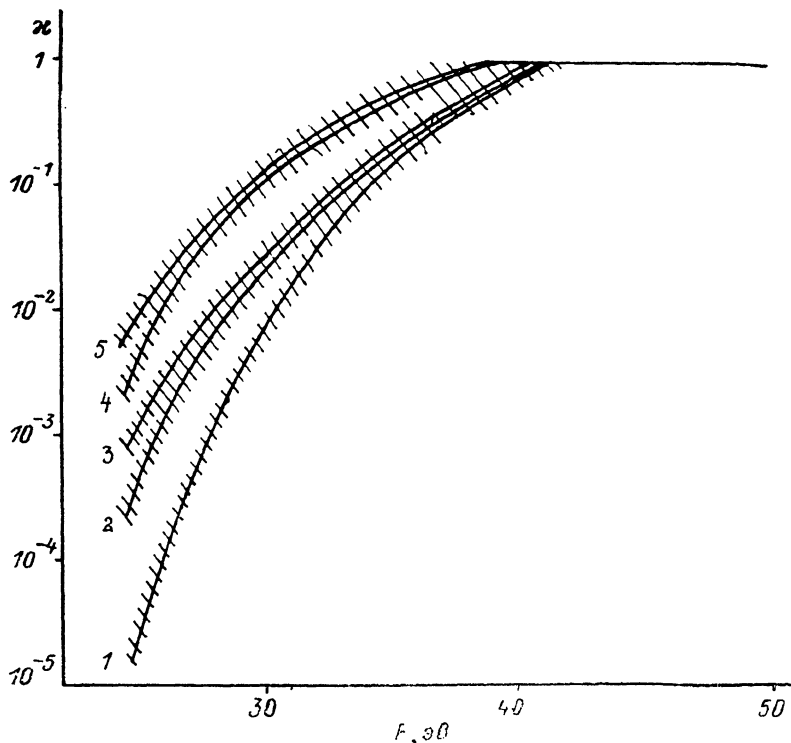


Рис. 2. Зависимость вероятности смещения атома кремния от получаемой им энергии, вычисленная из энергетической зависимости скорости введения А-центров (1, 2, 4) и центров  $C_4-C_5$  (3, 5).

1 — группа 2; 2, 4 и 3, 5 — группа 1; Т, К: 1—3 — 300; 4, 5 — 500. Кривые 2, 3 и 4, 5 попарно совпадают в пределах погрешности, указанной штриховкой.

2. В качестве эффективной энергии смещения  $E_d^{эфф}$  целесообразно принять энергию, при передаче которой регулярному атому вероятность смещения последнего близка к единице (например, 90%). Для кремния  $E_d^{эфф} = (41 \pm 2)$  эВ при 300 К<sup>1</sup> и  $(38 \pm 2)$  эВ при 500 К.

3. При 300 К и  $E = 30$  эВ вероятность смещения регулярного атома не превышает 2% и резко снижается при уменьшении энергии.

4. При повышении температуры увеличивается вероятность смещения и соответственно уменьшается  $E_d^{эфф}$ . Это естественно связать с изменением упругих констант материала (заметим, что при температуре плавления  $E_d^{эфф}$  обращается в нуль).

Таким образом, проведенный нами анализ позволяет сделать следующие выводы.

1. Существует принципиальная возможность нахождения фундаментальной (не связанной с примесным составом материала) характеристики кристалли-

<sup>1</sup> В [6] была сделана оценка снизу:  $E_d \geq 32$  эВ для регулярных атомов.

ческой решетке полупроводника — зависимости вероятности смещения собственного атома из регулярного узла от величины мгновенно получаемой им энергии  $\kappa(E)$  — по данным об энергетической зависимости скорости введения какого-либо комплексного дефекта, включающего в свой состав атомы примесей. Важным условием для реализации этой возможности в экспериментах по облучению исследуемого материала электронами является строгое постоянство плотности электронного потока при изменении его энергии.

2. Предложено новое определение понятия эффективной пороговой энергии смещения  $E_a^{\text{эф}}$ , используемого в расчетах сечений образования дефектов. Предлагается определять  $E_a^{\text{эф}}$  как энергию, при которой вероятность  $\kappa=90\%$ .

3. Возможность экспериментального нахождения функции  $\kappa(E)$  продемонстрирована на примере кремния. Использовались данные об энергетических зависимостях скоростей введения А-центров и комплексов  $C_i-C_s$  в глубине исследуемых образцов. Как и следовало ожидать, зависимость  $\kappa(E)$ , полученная из данных о скоростях  $v_1(\epsilon)$  и  $v_{C_i-C_s}(\epsilon)$ , оказалась одной и той же. Это доказывает, что полученная зависимость  $\kappa(E)$  характеризует собственные регулярные атомы.

4. Установлено, что величина  $E_a^{\text{эф}}$ , определенная в соответствии с п. 3, составляет  $(41 \pm 2)$  эВ при 300 К и слегка уменьшается [до  $(38 \pm 2)$  эВ] при повышении температуры до 500 К. Изменение величины  $E_a^{\text{эф}}$  с температурой следует связать с температурной зависимостью упругих констант кристалла.

5. Вероятность смещения регулярного атома кремния, получившего энергию 30 эВ при  $T=300$  К, не превышает 2%, а при  $T=500$  К — 10%. Это прямо указывает на то, что известные данные о «пороговой энергии смещения»  $E_a \ll 30$  эВ [4, 5] относятся не к регулярным, а к слабо связанным атомам, находящимся в приповерхностных слоях.

Авторы глубоко признательны И. И. Ясковцу за полезную дискуссию.

#### Список литературы

- [1] Емцев В. В., Машовец Т. В. Примеси и точечные дефекты в полупроводниках. М., 1981. 248 с.
- [2] Cleland J. W., Bass R. F., Crawford J. H. // Rad. Dam. Semicond. Paris, 1985. P. 401—415.
- [3] Витовский Н. А., Мустафакулов Д. А., Чекмарева А. П. // ФТП. 1977. Т. 11. В. 9. С. 1747—1753.
- [4] Вавилов В. С. Действие излучений на полупроводники. М., 1963. 191 с.
- [5] Физические процессы в облученных полупроводниках // Под ред. Л. С. Смирнова. Новосибирск, 1977. 256 с.
- [6] Берман Л. С., Витовский Н. А., Ременюк А. Д., Ткаченко В. Н., Толстобров М. Г. // ФТП. 1989. Т. 23. В. 4. С. 753—756.
- [7] Vitovskii N. A. // Rad. Phys. Semicond. Rel. Mater. N. Y., 1980. P. 467—471.
- [8] Винецкий В. Л., Ентинзон И. Р., Холодарь Г. А. // ФТП. 1979. Т. 13. В. 5. С. 912—948.
- [9] Берман Л. С. // ФТП. 1987. Т. 21. В. 5. С. 959.
- [10] Берман Л. С., Ременюк А. Д., Толстобров М. Г. // Препринт ФТИ им. А. Ф. Иоффе АН СССР. Л., 1985. № 974.
- [11] Корбет Д., Бургуэн Ж. // Новости физики твердого тела. В. 9. Точечные дефекты в твердых телах. М., 1979. С. 9—162.
- [12] Аглинцев К. К. Дозиметрия ионизирующих излучений. М.—Л., 1950. 500 с.
- [13] Murin I. I. // Phys. St. Sol. 1986. V. A93. N 1. P. K147—K149.
- [14] Jellison G. E. // J. Appl. Phys. 1982. V. 53. N 8. P. 5715—5719.
- [15] Берман Л. С., Витман Р. Ф., Шуман В. Б. // ФТП. 1975. Т. 9. В. 2. С. 311—315.
- [16] Васильев А. В., Панов В. И., Смагулова С. А., Шаимеев С. С. // ФТП. 1987. Т. 21. В. 3. С. 573—575.
- [17] Emtsev V. V., Mashovets T. V., Mikhnovich N. A., Vitovskii N. A. // Rad. Def. Sol. / Ed. by J. P. Biersack. 1989. V. 111-112 (1-2).
- [18] Sivo L. L., Klontz E. E. // Phys. Rev. 1969. V. 178. N 3. P. 1264—1273.
- [19] Винецкий В. Л., Ясковец И. И. // ФТТ. 1972. Т. 14. В. 10. С. 3046—3052.
- [20] Oen O. S., Holmes D. K. // J. Appl. Phys. 1959. V. 30. N 8. P. 1289—1294.